

## بررسی اثر کرنش محوری بر روی ترابرد جریان در نanolوله کربنی دسته صندلی محدود (۶، ۶)

سید ادریس فیض آبادی و زینب کارگر

دانشکده فیزیک، دانشگاه علم و صنعت ایران

پست الکترونیکی: edris@iust.ac.ir

(دریافت مقاله: ۱۳۸۹/۱۲/۲۱؛ دریافت نسخه نهایی: ۱۳۹۰/۶/۷)

### چکیده

در این مقاله با استفاده از تکنیک تابع گرین و رابطه لاندئور- بوتیکر به بررسی اثر کرنش بر جریان الکتریکی در Nanololle کربنی دسته صندلی محدود (۶، ۶) پرداخته ایم. نanololle های کربنی دسته صندلی محدود با توجه به طولشان می توانند رسانا یا نیمه رسانا باشند. Nanololle کربنی محدود (۶، ۶) با طول ۳q+۱ و ۳q+۱ (q) یک عدد صحیح می باشد. در حالت بدون کرنش دارای گاف نواری می باشد. نتایج این مقاله نشان می دهد Nanololle کربنی محدود (۶، ۶) با طول ۳q+۱ و ۳q+۱ هنگامی که به ترتیب تحت کشش محوری و فشار محوری هستند در ولتاژهای پایین جریان مشاهده می گردد. Nanololle کربنی محدود (۶، ۶) با طول ۳q-۱ در حالت عادی در ولتاژهای پایین جریان از خود نشان می دهد، با اعمال کرنش محوری این جریان کاهش پیدا می کند. با توجه به نتایج به دست آمده در این تحقیق، با اعمال کرنش محوری در Nanololle دسته صندلی محدود با طول های متفاوت، گذار فلز به نیمه رسانا و یا بالعکس را می توان مشاهده کرد.

واژه های کلیدی: Nanololle کربنی محدود، تابع گرین، ترابرد جریان، کرنش

### ۱. مقدمه

می باشند. میزان کشیدگی که Nanololle های کربنی می توانند تحمل کنند ۲۰ برابر بیشتر از استیل می باشد [۲] و دارای مدول یانگی از مرتبه تراپاسکال می باشند [۳]. خصوصیات مکانیکی ویژه Nanololle های کربنی را به آسانی می توان به وسیله پیوندهای sp<sup>3</sup>-کربن - کربن توضیح داد که این نوع پیوندها قوی ترین پیوند در طبیعت می باشند [۴]. هر دو خصوصیت الکتریکی و مکانیکی Nanololle های زیگزاگ بیشتر از Nanololle های دسته صندلی می باشد [۵]. Nanololle های دسته صندلی نامحدود در مقایسه با Nanololle های زیگزاگ نسبت به کرنش<sup>۱</sup> بی اثر هستند، بدین معنی که گاف نواری برای Nanololle زیگزاگ که تحت کرنش قرار

Nanololle های کربنی بعد از کشف توسط آقای ایجیما در سال ۱۹۹۱ تاکنون توجه دانشمندان زیادی در زمینه های گوناگون علم و تکنولوژی به خود جلب کرده اند [۱]. Nanololle های کربنی ساختاری جدید با خصوصیات الکترونیکی ویژه ای هستند. یک Nanololle کربنی تک دیواره، ساختاری شبیه یک بعدی دارد که از لوله کردن یک صفحه دو بعدی گرافین به دست می آید. هر Nanololle با یک بردار کایرال  $\bar{C} = n_1 \bar{a}_1 + n_2 \bar{a}_2$  مشخص می شود که  $a_1$  و  $a_2$  بردارهای پایه شبکه گرافین هستند. خصوصیات الکتریکی Nanololle های کربنی بستگی به نحوه پیچش صفحه گرافین دارد. علاوه بر خصوصیات الکتریکی منحصر به فرد Nanololle های کربنی، آنها دارای خصوصیات مکانیکی ویژه ای نیز

یکسان می باشند و جفت شدگی الکتروودها و نانولوله کربنی فقط به اتم های انتهایی الکتروود چپ و اتم های ابتدایی الکتروود راست محدود می شود.

هامیلتونی بستگی قوی برای نانولوله کربنی به صورت زیر نوشته می شود:

$$H_C = \sum_i \varepsilon_i |i\rangle\langle i| + \sum_{i \neq j} t_{i,j} |i\rangle\langle j|, \quad (1)$$

$t_{i,j}$  انتگرال همپوشانی بین جایگاه اتمی  $i$  و  $j$  راست که در اینجا فقط همسایه های اول در نظر گرفته شده است و  $\varepsilon_i$  معرف انرژی جایگاه  $i$  اتم کربن می باشد. جریان الکتریکی  $I$  از رابطه لاندئور - بوتیکر به دست می آید:

$$I = \frac{2e}{h} \int_{-\infty}^{\infty} T(E) (f_L(E) - f_R(E)) dE, \quad (2)$$

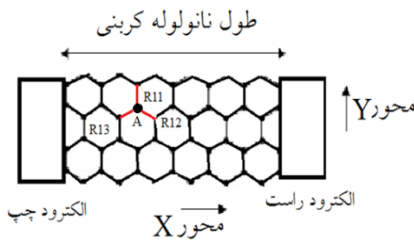
که در آن  $T(E)$  احتمال عبور الکترون،  $e$  و  $h$  به ترتیب بار الکترون و ثابت پلانک می باشند.  $f_L(E)$  و  $f_R(E)$  تابع توزیع فرمی - دیراک برای الکتروودهای چپ و راست هستند که به صورت زیر تعریف می شود:

$$f_{L(R)}(E) = \frac{1}{1 + \exp\left(\frac{E - \mu_{L(R)}}{kT}\right)}, \quad (3)$$

در عبارت بالا  $k$  ثابت بولتزمن و  $T$  دمای کلوین می باشد.  $\mu_{L(R)}$  پتانسیل الکتریکی، الکتروود چپ (راست) می باشد و به صورت  $\mu_{L(R)} = \varepsilon_f \pm \frac{eV}{2}$  در نظر گرفته می شود. در این رابطه  $\varepsilon_f$  انرژی فرمی و  $V$  ولتاژ بایاس اعمال شده به الکتروودهاست. برای به دست آوردن احتمال عبور الکترون از تکنیک تابع گرین استفاده می کنیم. تابع گرین تأخیری برای سیستم ارائه شده در شکل ۱ به صورت زیر می باشد:

$$G_C^r(E) = \left[ (E + i\eta) I - H_C - \sum_L - \sum_R \right]^{-1} \quad (4)$$

که در این عبارت  $H_C$  هامیلتونی نانولوله کربنی است که در بالا معرفی شد و اثرات الکتروودهای نیمه بی نهایت چپ (راست) به صورت عبارت های  $\sum_{L(R)}$  ظاهر می شود که به آنها خود انرژی گفته می شود. ماتریس خود انرژی با توجه به نکته گفته شده در ابتدای این بخش یک ماتریس تنک است بدین معنی که تمام داریه های آن صفر است به جز داریه هایی که



شکل ۱. نانولوله کربنی محدود که بین دو الکتروود نیمه بینهایت فلزی قرار گرفته شده است.  $R_{11}$  و  $R_{12}$  پیوندهایی هستند که اتم کربن A را به سه همسایه اول آن پیوند می باشند.

می گیرد، می تواند تغییر کند [۶]، اما نانولوله دسته صندلی نامحدود تحت این نوع کرنش همچنان فلز باقی می ماند [۷]. نانولوله های دسته صندلی نامحدود هنگامی که پیچیده می شوند دیگر دارای گاف نواری صفر نیستند [۸]. آقای اگاتا و همکارانش گاف نواری محدودی برای نانولوله دسته صندلی (۸۸) در کشیدگی محوری برابر با ۲۰٪، که بیشترین مقدار کشیدگی است که نانولوله کربنی می تواند تحمل کند، مشاهده کردند [۹]. اخیراً با استفاده از روش شبیه سازی دینامیک مولکولی (MDS) بالاتر بودن مدول یانگ و سختی کششی نانولوله های کربنی تک دیواره نسبت به مدول الاستیک و سختی فشارنده قابل توجیه است. همچنین نیروی محوری بحرانی برای نانولوله زیگراگ مستقل از شعاع آن می باشد، در صورتی که برای نانولوله های دسته صندلی با افزایش شعاع افزایش می یابد [۱۰].

در این مقاله با استفاده از روش تابع گرین و رابطه لاندئور - بوتیکر به بررسی اثرات ناشی از اعمال فشار و کشش محوری بر روی ترا برد جریان در نانولوله کربنی دسته صندلی محدود (۶، ۶) با طول متفاوت پرداخته شده است.

## ۲. مدل

برای بررسی اثر کشش و فشار محوری بر روی نانولوله های کربنی بر مبنای هامیلتونی در مدل بستگی قوی از روش تابع گرین استفاده می کنیم. برای این منظور یک نانولوله دسته صندلی محدود را به دو الکتروود فلزی نیمه بینهایت مطابق شکل ۱ متصل می کنیم و برای سادگی فرض می کنیم که الکتروودها

تعريف می‌شود.  $X$  و  $Y$  محورهای مختصات می‌باشند. کرنش موجب تغییر طول پیوند کربن – کربن می‌شود در نتیجه هم پوشانی بین اوریتال‌های  $\pi$  همسایه‌های نزدیک اتم‌های کربن تغییر می‌کند، بنابراین باید انتگرال هم پوشانی دوباره محاسبه شود. انتگرال هم پوشانی پیوندهایی که تحت تأثیر کرنش قرار گرفته‌اند،  $t_i = t(\sigma_i)$ ، به انتگرال هم پوشانی در حالت عادی،  $t.$ ، بنا به قانون هریسون [۱۳]، به صورت  $t_i = t(R_i/R) = t.$  نسبت داده می‌شود، که در آن  $R_i$  و  $R.$  به ترتیب طول پیوندهای تغییر شکل یافته و پیوندها در حالت عادی می‌باشد.

### ۳. نتایج

در این تحقیق سعی به بررسی اثر کشش و فشار محوری بر روی جریان عبوری از Nanololle کربنی دسته صندلی محدود شده است. برای این منظور Nanololle کربنی دسته صندلی را بین دو الکترود قرار داده شده است که برای سادگی فرض می‌کنیم الکترودها یکسان هستند. انرژی جایگاهی اتم‌های کربن را برابر با صفر و انتگرال هم پوشانی برای Nanololle‌ای که تحت هیچ کشش و فشاری نیست را برابر با  $t = 2/7 \text{ eV}$  و تابع پهن شدگی بین الکترود و Nanololle کربنی را برابر با  $\Gamma_{L(R)} = 0.5 \text{ eV}$  قرار می‌دهیم. نسبت پواسون را برابر با  $0.165$ ، قرار داده ایم [۱۲]. محاسبات در دمای اتاق انجام گرفته است. Nanololle کربنی که مورد بررسی قرار گرفته است Nanololle کربنی دسته صندلی محدود (۶، ۶) است.

اعمال کرنش محوری بر روی انتگرال هم پوشانی بین یک اتم کربن با اتم‌های کربن مجاورش اثر می‌گذارد. در شکل ۲ نمودار انتگرال هم پوشانی برای پیوند عمود بر محور  $R_{11}$  و پیوندهای غیر محوری  $R_{12}$  و  $R_{13}$  در Nanololle کربنی دسته صندلی محدود بر حسب کرنش محوری نشان داده شده است. همان‌طور که در شکل دیده می‌شود دو رفتار متفاوت برای این دو نوع پیوند دیده می‌شود. پیوندهای غیر محوری  $R_{12}$  و  $R_{13}$  دارای دو مولفه در راستای محور  $X$  و  $Y$  هستند. اگر محور Nanololle کربنی دسته صندلی را در راستای محور  $X$  در نظر

در ارتباط با اتم‌های متصل به Nanololle هستند و به صورت زیر بیان می‌شود:

$$\sum_{L(R)}(E) = \tau_{L(R),C} g_{s,L(R)}^r \tau_{L(R),C}^+, \quad (5)$$

$\tau_{L(R),C}$  انتگرال همپوشانی بین الکترودها و Nanololle کربنی است و  $g_{s,L(R)}^r$  تابع گرین تأخیری برای الکترود نیمه بینهایت چپ (راست) است. ضریب عبور الکترون از یک اتصال به اتصال دیگر از رابطه زیر به دست می‌آید

$$T = Tr (\Gamma_L G_C^r \Gamma_R G_C^a), \quad (6)$$

که  $\Gamma$  تابع پهن شدگی است که به صورت زیر بیان می‌شود [۱۱]

$$\Gamma_{L(R)} = i \left[ \sum_{L(R)}^r - \sum_{L(R)}^a \right]. \quad (7)$$

اتم‌ها در جامدات با اعمال فشار و یا کشش از وضعیت تعادل خود خارج می‌شوند اما نیروهای بازگرداننده سعی به برگرداندن اتم‌ها به حالت اولیه خود، یعنی قبل از اعمال فشار یا کشش را دارند. در مکانیک کلاسیک، رابطه کشسانی از قانون هوک به دست می‌آید که به صورت زیر بیان می‌شود:

$$s = E \sigma, \quad (8)$$

که در آن  $E$  مدول یانگ و  $\sigma$  و  $s$  به ترتیب برابر با کرنش و تنش<sup>۱</sup> ایجاد شده هستند.  $\sigma$  از رابطه زیر به دست می‌آید:

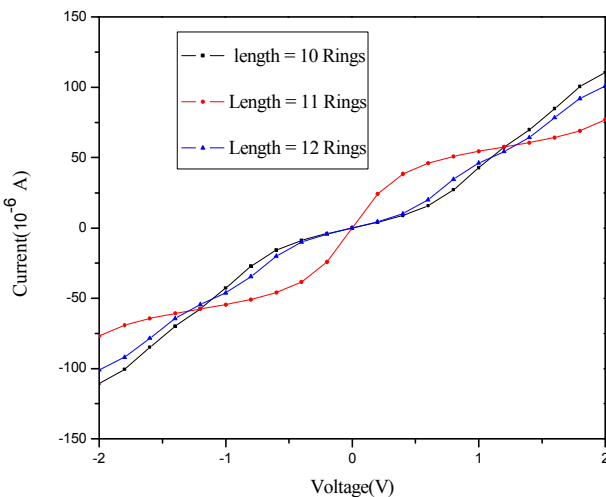
$$\sigma = \frac{L - L_0}{L}, \quad (9)$$

در اینجا  $L_0$  طول Nanololle قبل و بعد از اعمال تنش هستند. قبل از اعمال تنش طول پیوندهای کربن – کربن با هم برابر بوده است اما بعد از اعمال کرنش پیوندهای کربن – کربن در Nanololle دسته صندلی با توجه به شکل ۱ به صورت زیر تغییر می‌کند [۱۲]:

$$R_{11} = \frac{1}{\sqrt{3}} a(1 - \sigma v) \bar{Y}, \\ R_{12,13} = \pm \frac{1}{2} a(1 + \sigma) \bar{X} - \frac{1}{2\sqrt{3}} a(1 - \sigma v) \bar{Y}, \quad (10)$$

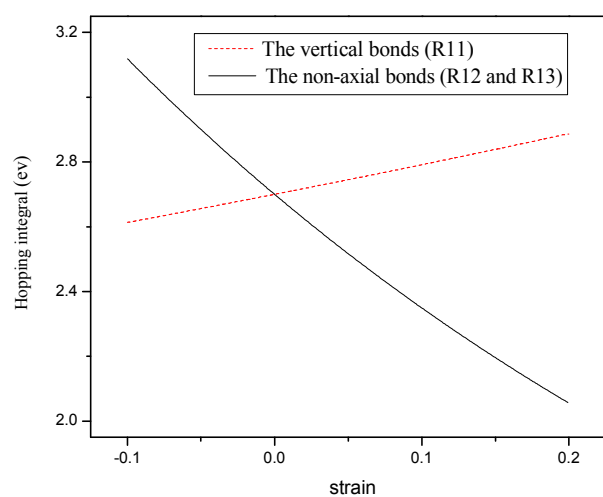
که در عبارات بالا  $a$  ثابت شبکه و مقدار آن برابر با  $a = \sqrt{3} a_{C-C}$  می‌باشد.  $\sigma$  بیانگر کرنش محوری و  $v$  نسبت پواسون می‌باشد. نسبت پواسون، نسبت کشش قراردادی عرضی به کشش طولی

۱. Stress



شکل ۳. جریان بر حسب ولتاژ بایاس با انتگرال هم پوشانی  $t = 2/7 \text{ eV}$  هنگامی که نanolوله تحت کرنش نیست.

محدود (۶، ۶) را تحقیق کنیم، ترا برد جریان را در حالتی که نanolوله دسته صندلی محدود در حالت عادی است، برای طول های متفاوت بررسی می کنیم. در شکل ۳ جریان برای نanolوله کربنی محدود دسته صندلی (۶، ۶) بر حسب ولتاژ بایاس اینگامی که طول نanolوله متفاوت می باشد، رسم شده است. در اینجا نanolوله کربنی تحت هیچ گونه کرنشی نیست. همان طور که در شکل دیده می شود نمودار جریان نسبت به ولتاژ ظاهری پله مانند دارد. در نanolوله های کوتاهتر اثرات کوانتومی باعث گستته شدن سطوح انرژی شده و هر پله از ولتاژ معادل با انرژی لازم برای جهش الکترون از یک سطح به سطح دیگر انرژی می باشد. نanolوله کربنی محدود دسته صندلی بر خلاف نوع نامحدودش که خاصیت فلزی دارد، دارای گاف انرژی بوده و این گاف انرژی به طول نanolوله محدود دسته صندلی بستگی دارد. اگر طول نanolوله برابر با  $3q+1$  و  $3q-1$  باشد (یک عدد صحیح می باشد). در این صورت به ترتیب دارای بیشترین، معمولی و کمترین گاف انرژی است [۱۴]. همان طور که در شکل ۳ مشاهده می گردد، جریان برای نanolوله کربنی دسته صندلی با طول هایی معادل با  $3q+1$  در ولتاژ هایی پایین دارای مقداری نزدیک به صفر می باشد. که این ولتاژ هایی پایین معادل با گاف انرژی برای نanolوله دسته صندلی محدود (۶، ۶) هستند [۱۵]. هنگامی که طول نanolوله برابر با  $3q-1$  است

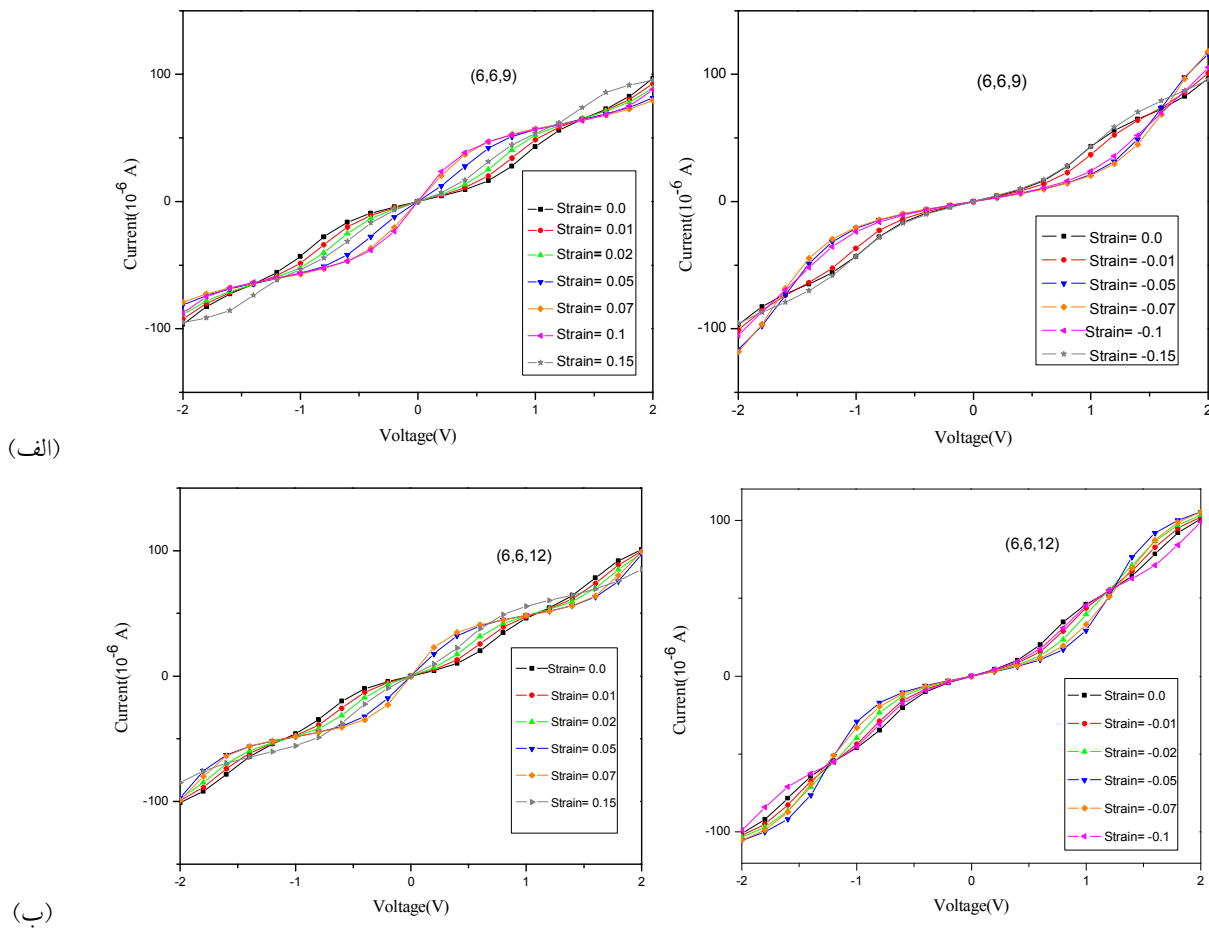


شکل ۲. انتگرال هم پوشانی نanolوله کربنی دسته صندلی بر حسب کرنش برای پیوند غیر محوری (خط ممتد سیاه) و پیوند عمود بر محور نanolوله (خط چین قرمز).

بگیریم مطابق شکل ۱ اعمال کرنش از جمله کشش (فشار) در راستای محور  $X$  بر روی هردو مولفه  $X$  و  $Y$  پیوندها تأثیر می گذارد و منجر به افزایش (کاهش) مولفه  $X$  و کاهش (افزایش) در مولفه  $Y$  پیوند غیرمحوری می شود اما در مجموع این تغییرات منجر به دور (نزدیک) شدن اتم های کربن مجاور می شود. هنگامی که اتم ها از هم دورتر (به هم نزدیکتر) می شوند، هم پوشانی بین اوریتال های  $2p_z$  اتم های مجاور کمتر (بیشتر) شده در نتیجه جهش الکترون از یک اتم به اتم مجاور سخت تر (آسان تر) می شود. بنا بر قانون هریسون، که انتگرال هم پوشانی با محدود فاصله بین اتم ها نسبت عکس دارد، انتگرال هم پوشانی پیوندهای غیرمحوری هنگامی که نanolوله کربنی دسته صندلی تحت کشنش (فشار) قرار می گیرد، کاهش (افزایش) می یابد.

اما در پیوند  $R_{11}$  که عمود بر محور نanolوله کربنی دسته صندلی بوده و فقط دارای مولفه  $Y$  می باشد، با افزایش کشش (فشار) محوری اتمی کربنی که در انتهای این پیوند قرار دارد به اتم های مجاورش نزدیک (دور) شده، در نتیجه هنگامی که تحت کشنش (فشار) قرار می گیرد الکترون راحت تر (سخت تر) به اتم دیگر جهش می کند و در نتیجه انتگرال هم پوشانی افزایش (کاهش) می یابد.

قبل از اینکه اثر کرنش بر روی ترا برد جریان در نanolوله



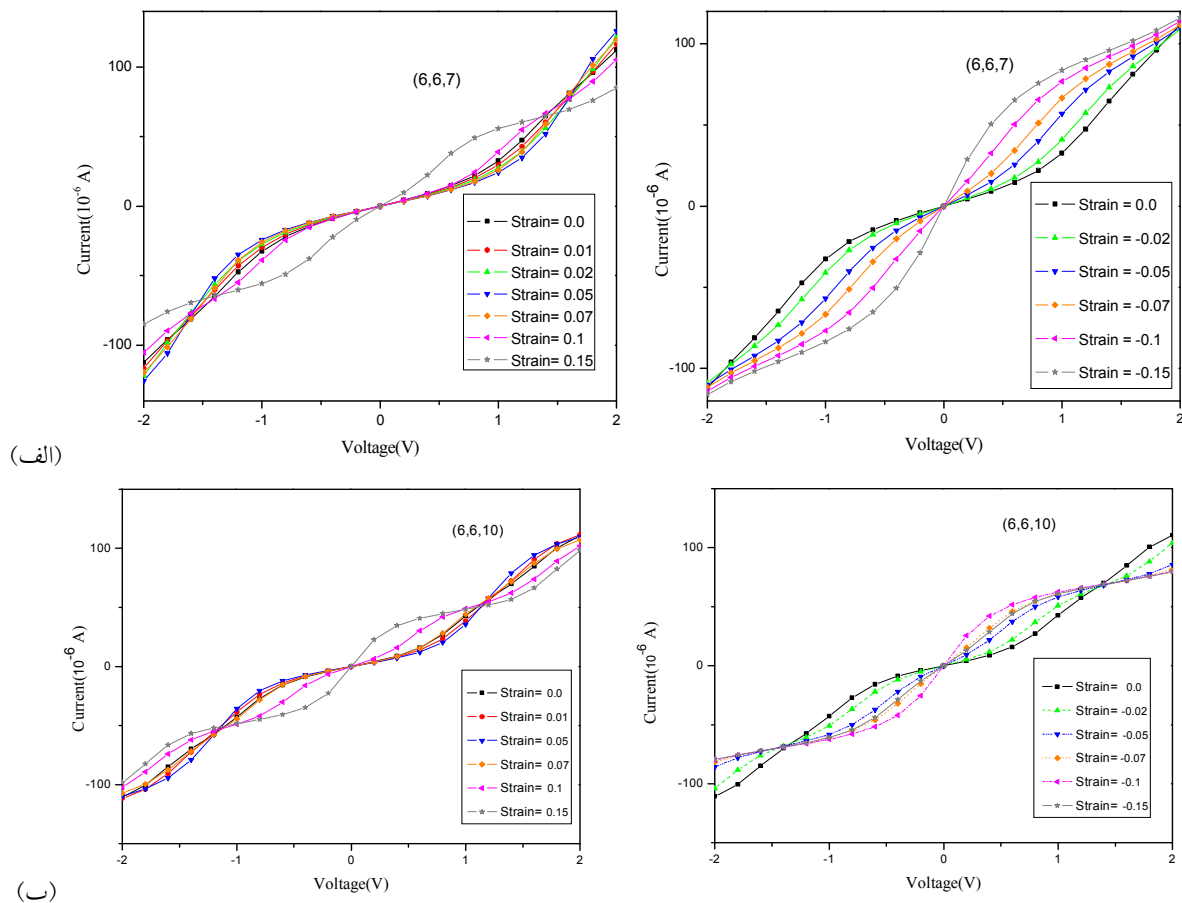
شکل ۴. نمودار جریان بر حسب ولتاژ برای نانولوله کربنی محدود (۶، ۶)، (الف) طول ۹ حلقه، (ب) طول ۱۲ حلقه، تحت کشش محوری (شکل سمت چپ) و فشار محوری (شکل سمت راست) قرار گرفته‌اند.

همان‌طور که در شکل ۴ دیده می‌شود با افزایش فشار محوری جریان کاهش و گاف نواری افزایش می‌یابد. با افزایش کشش محوری جریان افزایش می‌یابد درحالی که نانولوله (۶، ۶) با همین طول در حالت عادی خود تقریباً هیچ جریانی را در ولتاژهای پایین از خود نشان نمی‌دهد. اعمال کرنش محوری منجر به تغییر پیوندهای بین اتم‌های کربن مجاور می‌شود و بنا به قانون هریسون انتگرال هم پوشانی نیز تغییر می‌کند. بنابراین برای مشاهده گذار از نیمه رسانا به رسانا در نانولوله کربنی محدود (۶، ۶) با طول  $3q$ ، نانولوله را تحت کشش محوری قرار می‌دهیم. در شکل ۵ تغییرات جریان بر حسب ولتاژ برای نانولوله محدود با طول ۷ و ۱۰ حلقه، تحت تأثیر کرنش محوری رسم

بیشترین مقدار جریان را مشاهده می‌کنیم، که در این طول کمترین مقدار گاف انرژی وجود دارد.

برای بررسی اثر کرنش محوری بر روی تراپرد جریان در نانولوله دسته محدود، نانولوله کربنی محدود (۶، ۶) را تحت کشش و فشار محوری قرار می‌دهیم، تراپرد جریان بر حسب ولتاژ در نانولوله کربنی محدود (۶، ۶) در شکل ۴ با طول  $3q$  در شکل ۵ با طول  $3q+1$  و در شکل ۶ با طول  $1-3q$  تحت کرنش محوری نشان داده شده است.

همان‌طور که قبل گفته شد نانولوله دسته محدود با طول  $3q$  در ولتاژهایی پایین دارای گاف نواری غیر صفر است. در شکل ۴ طول نانولوله کربنی (۶، ۶) را برابر با ۹ و ۱۲ حلقه انتخاب کرده‌ایم و آن را تحت کرنش محوری قرار داده‌ایم.



شکل ۵ . نمودار جریان بر حسب ولتاژ برای نanolوله کربنی محدود (۶، ۶)، الف) طول ۷ حلقه، ب) طول ۱۰ حلقه، تحت کشش محوری (شکل سمت چپ) و فشار محوری (شکل سمت راست) قرار گرفته‌اند.

(۶، ۶) با طول ۸ و ۱۱ (۳q-۱) حلقه تحت کرنش باشد، جریان کاهش می‌یابد. در نتیجه برای دیدن گذار از فلز به نیمه رسانا در Nanololle کربنی (۶، ۶) با طول ۱ ۳q-۱ کافیست Nanololle را تحت کشش یا فشار محوری قرار دهیم.

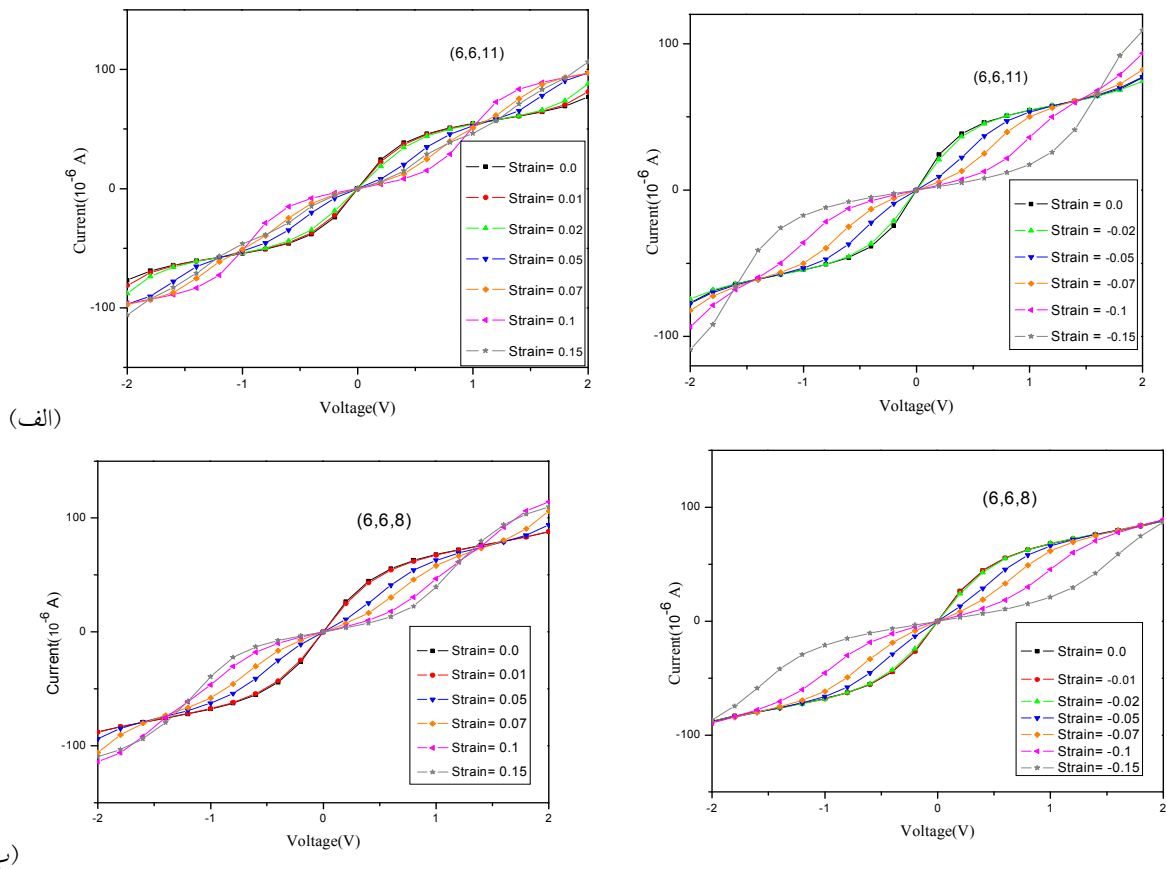
برای توجیه رفتارهای مشاهده شده در تراپرد جریان تحت کرنش محوری از مفهوم گاف نواری استفاده می‌کنیم. گاف نواری برای یک Nanololle دسته صندلی محدود به صورت زیر می‌باشد [۱۶]:

$$\Delta E = 2 \left| t_{11} + 2t_{12} \cos\left(\frac{r\pi}{N+1}\right) \right|, \quad (11)$$

که در این رابطه  $r$  یک عدد صحیح است به طوری که عبارت بالا کمترین مقدار خود را داشته باشد و  $t_{11}$  انتگرال هم پوشانی برای پیوند عمود بر محور Nanololle و  $t_{12}$  انتگرال هم پوشانی

شده است. همان‌طور که قبل در شکل ۳ نشان داده شده بود در این طول نیز مانند هنگامی که طول ۳q است جریانی نزدیک به صفر در ولتاژهای پایین مشاهده می‌شود. حال اگر Nanololle محدود (۶، ۶) با طول ۱ ۳q+۱ را تحت فشار محوری قرار دهیم، افزایش جریان مشاهده می‌شود و هنگامی که تحت تأثیر کشش محوری باشد، در ابتدا جریان کاهش و با افزایش کشش، جریان بیشتر می‌شود. بنابراین برای دیدن گذار در Nanololle محدود (۶، ۶) با طول ۱ ۳q+۱ باید Nanololle را تحت تأثیر فشار محوری قرار داد.

برخلاف دو حالت قبل، هنگامی که طول Nanololle محدود (۶، ۶) مطابق شکل ۳ برابر با ۳q-۱ حلقه است در حالت عادی Nanololle با این طول رسانا بوده و در ولتاژهای پایین جریان مشاهده می‌شود، اما با توجه به شکل ۶ هنگامی که Nanololle



شکل ۶. نمودار جریان بر حسب ولتاژ برای نانولوله کربنی محدود (۶، ۶)، (۶، ۸) طول ۱۱ حلقه، ب) طول ۸ حلقه، تحت کشش محوری (شکل سمت چپ) و فشار محوری (شکل سمت راست) قرار گرفته‌اند.

محدود می‌باشد. حال اگر طول نانولوله برابر با ۹ یا ۱۲ حلقه (۳q) باشد، گاف نواری هنگامی که نانولوله تحت کشش محوری است کاهش می‌یابد و در نتیجه جریان افزایش پیدا می‌کند، و اگر نانولوله فشرده شود گاف نواری نسبت به حالت عادی افزایش می‌یابد که نتیجه آن کاهش در جریان عبوری از نانولوله است.

با توجه به نتایج به دست آمده جریان در نانولوله دسته صندلی محدود نسبت به تغییرات کرنش در ولتاژهای پایین حساس بوده است. به طور کلی این نوع نانولوله می‌تواند مبنای مناسبی برای سنسورهای کرنش محوری باشد.

#### ۴. نتیجه‌گیری

در این مقاله با استفاده از روش تابع گرین و رابطه لاندئور-بوتیکر، به بررسی اثر کرنش محوری بر روی تراپرد جریان در

پیوند غیر محوری می‌باشد. هنگامی که طول نانولوله  $1-3q$  باشد  $r$  برابر با  $2q$  و اگر طول نانولوله برابر با  $1-3q+1$  یا  $3q+1$  باشد، در این صورت  $r=2q+1$ ، قرار می‌دهیم.

نانولوله دسته صندلی محدود با طول ۸ و ۱۱ حلقه ( $3q-1$  و  $3q+1$ ) هنگامی که در حالت عادی است دارای گاف نواری صفر است اما وقتی که تحت کشش یا فشار محوری قرار می‌گیرد با توجه به رابطه (۱۰) و قانون هریسون، انتگرال هم پوشانی پیوندهای مجاور،  $t_{11}$  و  $t_{12}$  دیگریکسان نیستند و در نتیجه گاف نواری به وجود می‌آید که منجر به کاهش جریان در ولتاژهای پایین می‌گردد. اگر نانولوله دسته صندلی محدود دارای طول ۷ یا ۱۰ حلقه باشد، یعنی حالتی که طول نانولوله برابر با  $3q+1$  است، با در نظر گرفتن رابطه (۱۱) گاف نواری نانولوله تحت کشش (فشار) محوری، افزایش (کاهش) پیدا می‌کند و پیامد آن کاهش (افزایش) در جریان عبوری از نانولوله کربنی دسته صندلی

کربنی محدود ( $6, 6$ ) را تحت کشش محوری قرار می‌دهیم. نanolوله محدود ( $6, 6$ ) با طول برابر با  $7$  یا  $10$  حلقه ( $3q+1$ ) هنگامی که تحت فشار محوری قرار می‌دهیم در ولتاژهای پایین که معادل با گاف نواری است، جریان مشاهده می‌گردد. اگر nanolوله با طول  $8$  و  $11$  حلقه ( $3q-1$ ) که در حالت عادی دارای گاف نواری صفر است و در نتیجه بیشترین جریان را از خود عبور می‌دهد، تحت کرنش محوری قرار دهیم جریان کمتر می‌شود و حتی می‌توانیم گذار فلز به نیمه رسانا را نیز مشاهده کنیم.

نانولوله کربنی دسته صندلی محدود ( $6, 6$ ) پرداخته شده است. نتایج نشان می‌دهد، نمودار جریان بر حسب ولتاژ رفتاری پله مانند دارد. هر پله از ولتاژ معادل با انرژی لازم برای جهش الکترون از یک سطح به سطح دیگر انرژی می‌باشد. اعمال کرنش محوری به nanolوله دسته صندلی محدود تغییر در انتگرال هم پوشانی بین نزدیکترین اتم‌های همسایه کربن را به دنبال دارد. nanolوله کربنی دسته صندلی محدود با طول  $3q+1$  ( $q$  عدد صحیح) دارای گاف نواری غیر صفر در حالت عادی می‌باشد. برای دیدن گذار از حالت نیمه رسانا به رسانا هنگامی که طول nanolوله برابر با  $9$  یا  $12$  حلقه ( $3q$ ) است، nanolوله

## مراجع

- 165409.
10. A R Ranjbartoreh, and G Wang, *Nanopart. Res.* **12** (2010) 537.
11. S Datta, “*Electronic Transport in Mesoscopic Systems*”, Cambridge University Press (1995).
12. V M Pereira, A H Castro Neto, and N M R Peres, *Phys. Rev. B* **80** (2009) 045401.
13. W A Harrison, “*Elementary Electronic Structure*” World Scientific (1999).
14. A Rubio, D Sánchez-Portal, E Artacho, P Ordejón, and J. M. Soler, *Phy. Rev. Lett.* **82** (1999) 3520.
15. L Liu, C S Jayanthi, H Guo, S Y Wu, *Phys. Rev. B* **64** (2001) 033414.
16. S Compernolle, L Chibotaru, and A Ceulemans, *Journal of Chemical Physics* **119** (2003) 51.
1. S Iijima, *Nature* **354** (1991) 56.
2. K Mylvgaganam, and L C Zhang, *Carbon* **42** (2004) 2032.
3. M M J Treacy, T W Ebbesen, and J M Gibson, *Nature* **381** (1996) 678.
4. R Saito, G Dresselhaus, M S Dresselhaus, “*Physical properties of carbonnanotubes*”, Imperial College press, London (1998).
5. C L Zhang, H S Shen, *Carbon* **44** (2006) 2608.
6. J M Zhang, R L Liang, and K W Xu, *Physica B* **405** (2010) 1329.
7. R Heyd, A Charlier, and E McRae, *Phys. Rev. B* **55** (1997) 11.
8. B Liu, H Jiang, H T Johnson, and Y Huang, *Journal of the Mechanics and Physics of Solids* **52** (2004) 1.
9. S Ogata, Y Shibutani, *Phys. Rev. B* **68** (2003)